Pos.	Dénomination	Qualité	Caractéristiques	Matériau	Fournisseur	PDF file	Q.té
1	Front wheel hub assembly left		IF for : swing arm - steering rack - suspension - steering link		HEIG-VD	MA2-012-D_Asm_FrontWheelHub_Left.pdf	1
2	Front brake assembly		Brake caliper and caliper bracket (Clio II Van)		AUTODOC		1
3	Front wheel assembly		145/60 R13 tyre - 4x13 ET46 rim		HEIG-VD	MA2-015-D_Asm_FrontWheel.pdf	1
4	Front wheel closing axle		Ø45 x 105 mm blank - M20 threaded - 12 mm Allen key	1.0718 (11SMnPb30)	HEIG-VD	MM-069-D_FrontWheel_ClosingAxle.pdf	1
5	Front wheel bearing		RIDEX 654W0012 - Ø35 x Ø65 x 35 mm	1.3505 (100Cr6)	AUTODOC		1
6	Anneau d'arrêt DIN 472 - 65 x 2.5						1
7	Vis tête hexagonale ISO 4017 - M12 x 35	8.8					2
8	Écrou hexagonal à embase ISO 4161 - M20	8.8					1

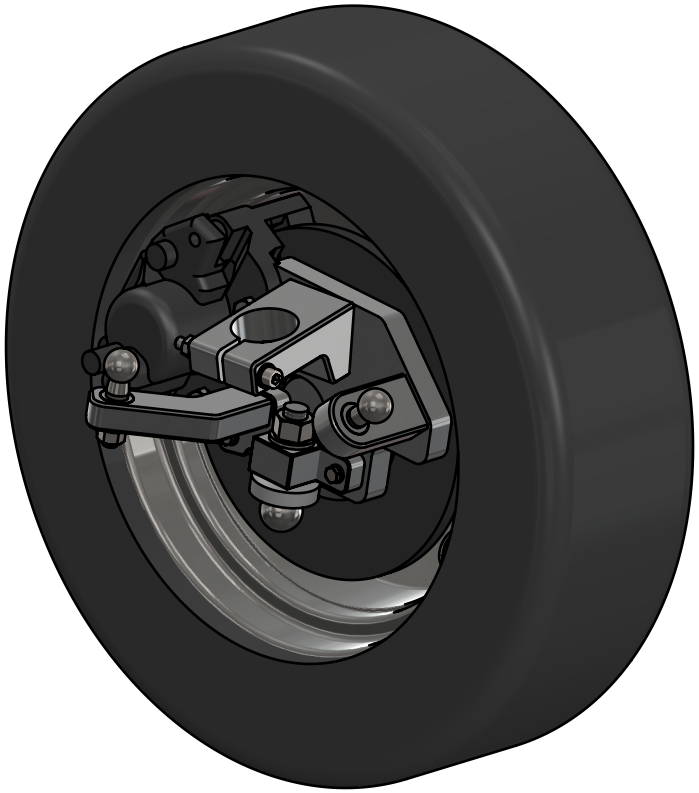

Tolérances générales ISO 2768-
Pièces moulées ISO 8062-CT
Symboles de soudure ISO 2553
Procédé de soudage
Tol. gén de soudure ISO 13920-
Pression d'essai

Finition:

Rayons non cotés R
Chanfreiné

Revision: D

HEIG-VD
COMATEC
Institut de Conception mécanique et Technologies des matériaux

	Nom	Signature	Date
Dessiné	Deriaz Samson		05.11.2026
Contrôlé			
Conf. normes			
Bon pour exéc.	Luc Blecha	L. Blecha	06.11.2026

Dénomination:

Front left wheel assembly

Matériau :

Nom du fichier (Dessin)
MA1-003.1_Asm_FrontWheelComplete_Left

A4

Masse: 34.51 kg

Echelle:1:5 NON

Feuille 1 de 2

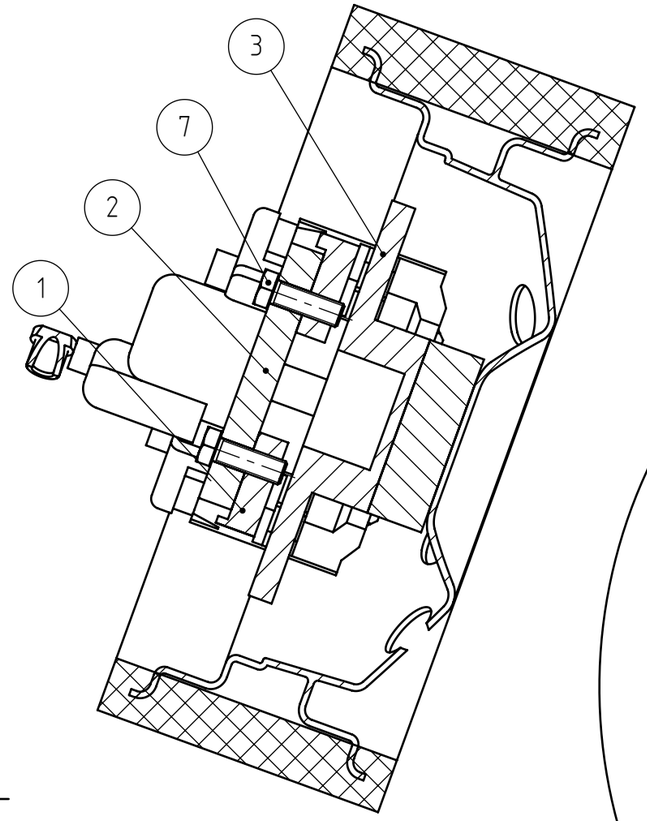

B-B :
Front brake assembly mounting

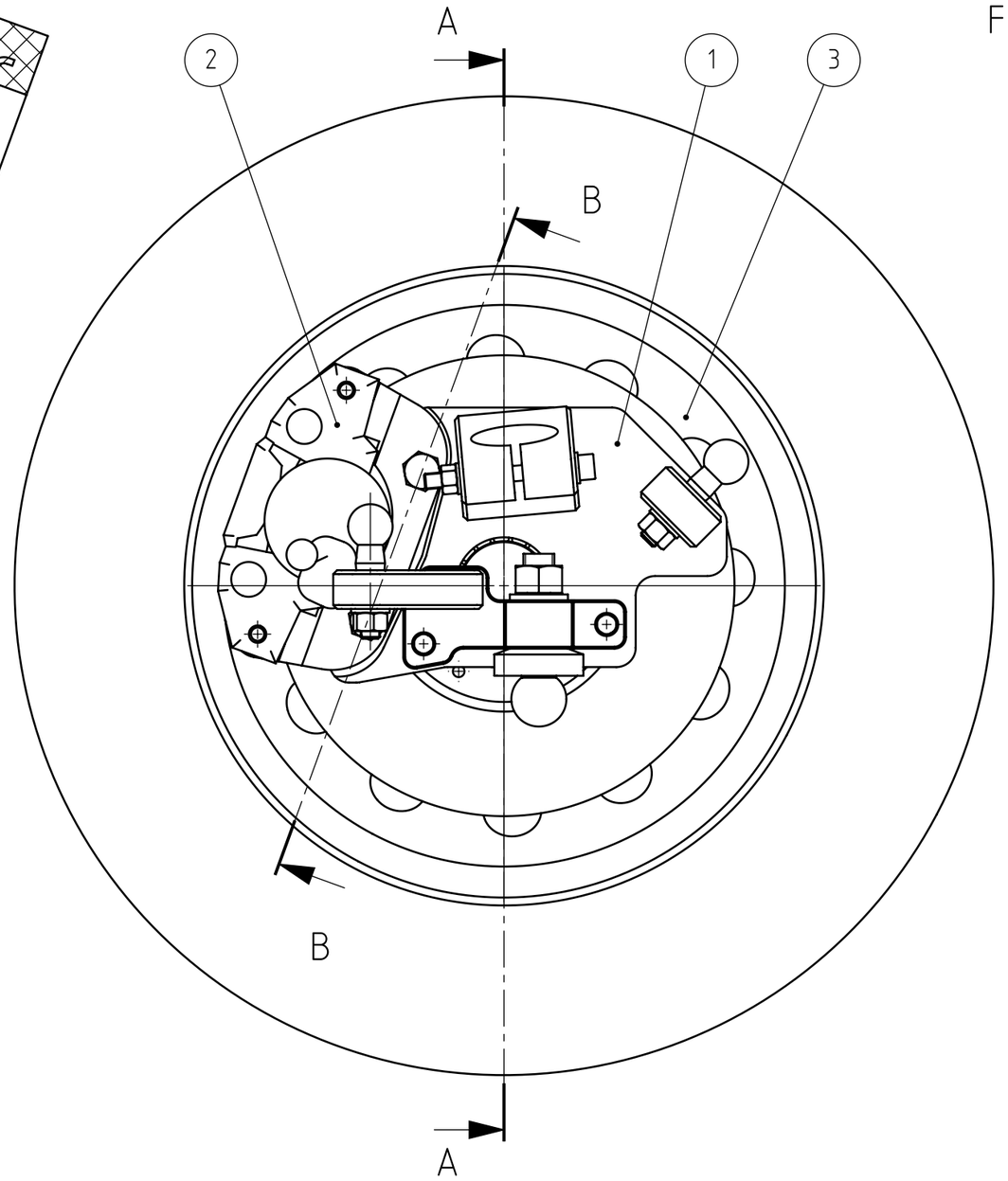

A-A :
Front wheel assembly mounting on wheel hub assembly

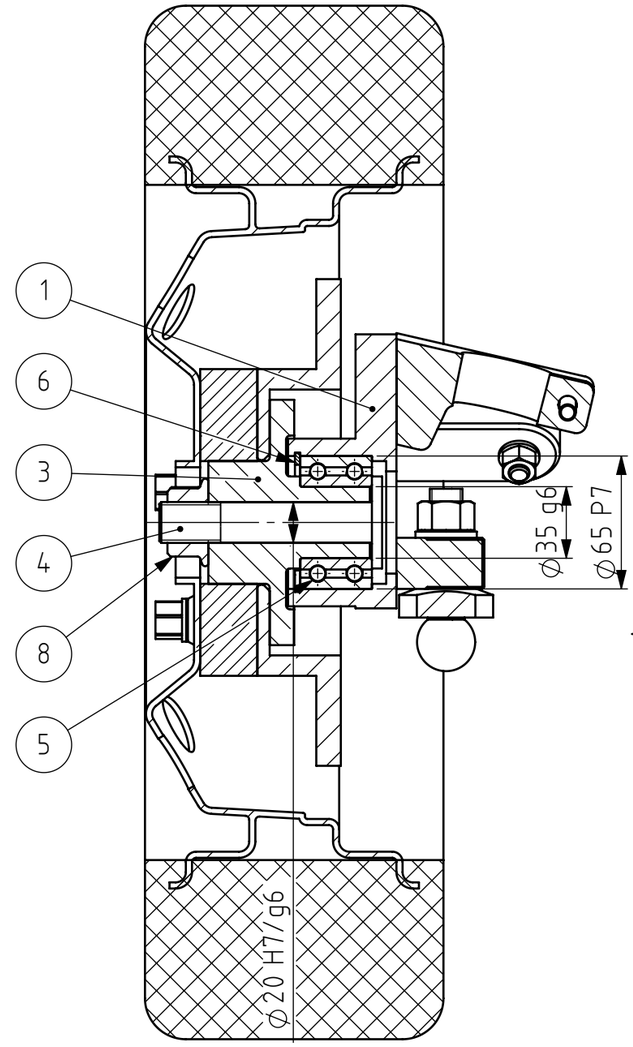

Tolérances générales ISO 2768- Pièces moulées ISO 8062-CT Symboles de soudure ISO 2553 Procédé de soudage Tol. gén de soudure ISO 13920- Pression d'essai	Finition:		Rayons non cotés R Chanfreiné		Revision: D
	Nom	Signature	Date		
Dessiné	Deriaz Samson		05.11.2026		
Contrôlé					
Conf. normes					
Bon pour exéc.					
Matériau :					
Masse: 34.51 kg					

HE-VD IG — COMATEC
Institut de Conception mécanique et Technologies des matériaux

Dénomination:
Front left wheel assembly

Nom du fichier (Dessin)
MA1-003.1_Asm_FrontWheelComplete_Left

A3

Echelle:1:3 NON

Feuille 2 de 2